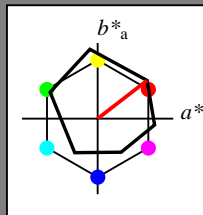


Eingabe: Farbmatisches Offset-Reflektiv-System ORS18

für Buntton $h^* = lab^*h = 38/360 = 0.105$
 lab^*tch und lab^*nch

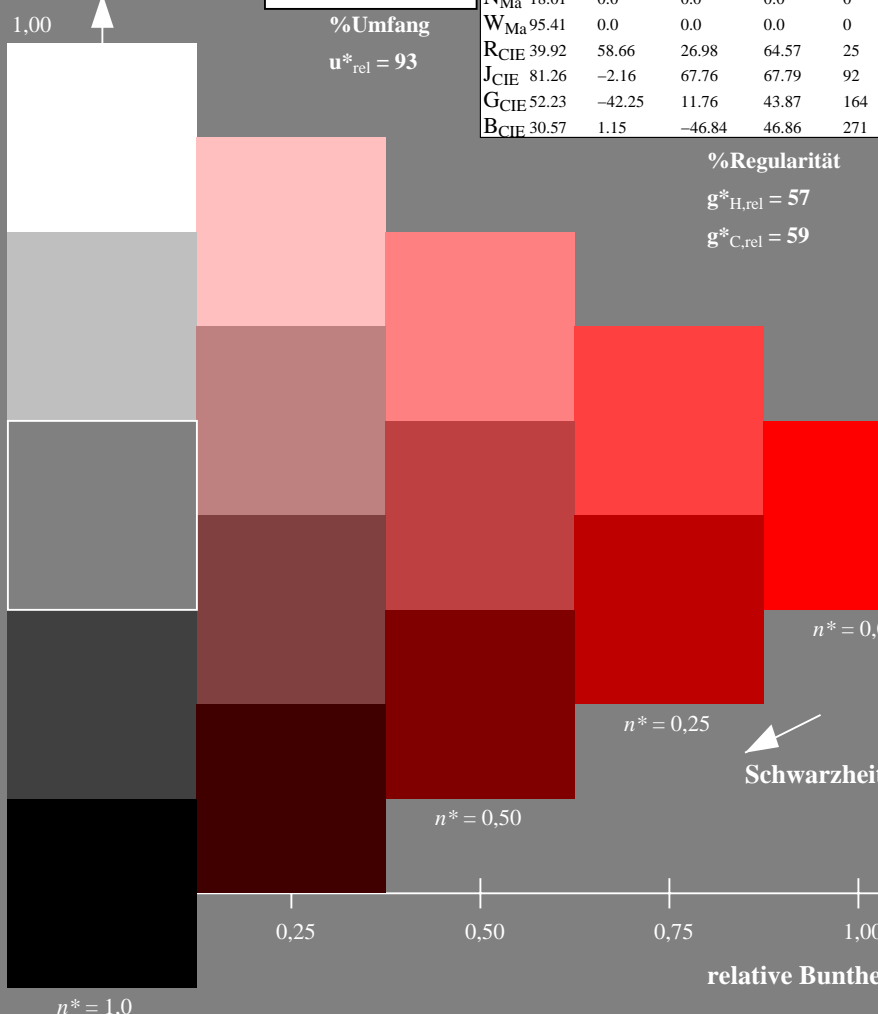
A: Buntton O
 LCH*Ma: 48 83 38
 olv*Ma: 1.0 0.0 0.0

Dreiecks-Helligkeit



%Umfang

$u^*_{rel} = 93$



ORS18; adaptierte CIELAB-Daten

	$L^* = L^*_a$	a^*_a	b^*_a	$C^*_{ab,a}$	$h^*_{ab,a}$
O _{Ma}	47.94	65.39	50.52	82.63	38
Y _{Ma}	90.37	-10.26	91.75	92.32	96
L _{Ma}	50.9	-62.83	34.96	71.91	151
C _{Ma}	58.62	-30.34	-45.01	54.3	236
V _{Ma}	25.72	31.1	-44.4	54.22	305
M _{Ma}	48.13	75.28	-8.36	75.74	354
N _{Ma}	18.01	0.0	0.0	0.0	0
W _{Ma}	95.41	0.0	0.0	0.0	0
R _{CIE}	39.92	58.66	26.98	64.57	25
J _{CIE}	81.26	-2.16	67.76	67.79	92
G _{CIE}	52.23	-42.25	11.76	43.87	164
B _{CIE}	30.57	1.15	-46.84	46.86	271

%Regularität

$g^*_{H,rel} = 57$

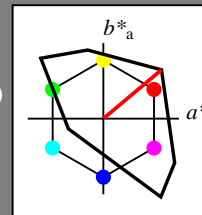
$g^*_{C,rel} = 59$

Ausgabe: Farbmatisches Fernseh-Licht-System TLS00

für Buntton $h^* = lab^*h = 40/360 = 0.111$
 lab^*tch und lab^*nch

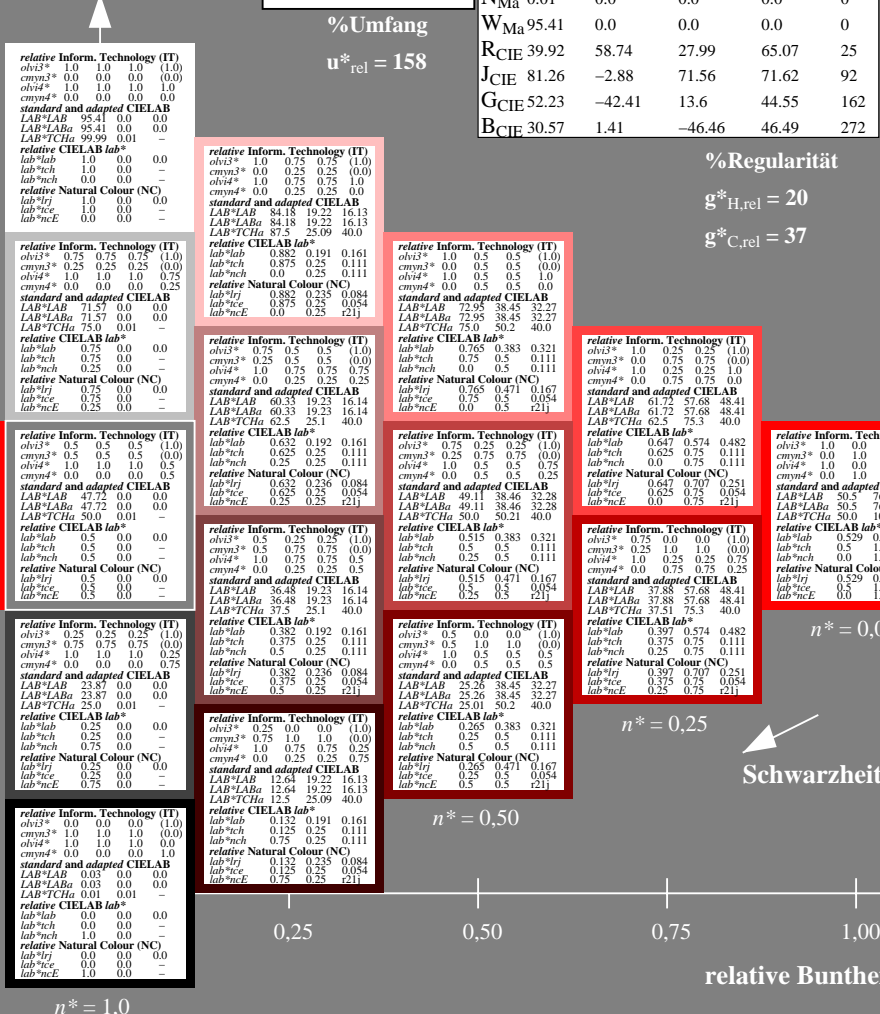
A: Buntton O
 LCH*Ma: 51 100 40
 olv*Ma: 1.0 0.0 0.0

Dreiecks-Helligkeit



%Umfang

$u^*_{rel} = 158$



TLS00; adaptierte CIELAB-Daten

	$L^* = L^*_a$	a^*_a	b^*_a	$C^*_{ab,a}$	$h^*_{ab,a}$
O _{Ma}	50.5	76.92	64.55	100.42	40
Y _{Ma}	92.66	-20.69	90.75	93.08	103
L _{Ma}	83.63	-82.75	79.9	115.04	136
C _{Ma}	86.88	-46.16	-13.55	48.12	196
V _{Ma}	30.39	76.06	-103.59	128.52	306
M _{Ma}	57.3	94.35	-58.41	110.97	328
N _{Ma}	0.01	0.0	0.0	0.0	0
W _{Ma}	95.41	0.0	0.0	0.0	0
R _{CIE}	39.92	58.74	27.99	65.07	25
J _{CIE}	81.26	-2.88	71.56	71.62	92
G _{CIE}	52.23	-42.41	13.6	44.55	162
B _{CIE}	30.57	1.41	-46.46	46.49	272

%Regularität

$g^*_{H,rel} = 20$

$g^*_{C,rel} = 37$

RG400-7, 5stufige Reihen für konstanten CIELAB Buntton 38/360 = 0.105 (links)

5stufige Reihen für konstanten CIELAB Buntton 40/360 = 0.111 (rechts)

BAM-Prüfvorlage RG40; Farbmatrik-Systeme ORS18 & TLS00 input: $olv^* setrgbcolor$

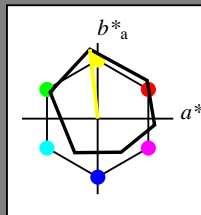
A: 5stufige Farbreihen und Koordinatendaten für 10 Bunttöne output: $olv^* setrgbcolor / w^* setgray$

Eingabe: Farbmatisches Offset-Reflektiv-System ORS18

für Buntton $h^* = lab^*h = 96/360 = 0.268$
 lab^*tch und lab^*nch

A: Buntton Y
 LCH*Ma: 90 92 96
 olv*Ma: 1.0 1.0 0.0

Dreiecks-Helligkeit



ORS18; adaptierte CIELAB-Daten

	$L^* = L^*_a$	a^*_a	b^*_a	$C^*_{ab,a}$	$h^*_{ab,a}$
O _{Ma}	47.94	65.39	50.52	82.63	38
Y _{Ma}	90.37	-10.26	91.75	92.32	96
L _{Ma}	50.9	-62.83	34.96	71.91	151
C _{Ma}	58.62	-30.34	-45.01	54.3	236
V _{Ma}	25.72	31.1	-44.4	54.22	305
M _{Ma}	48.13	75.28	-8.36	75.74	354
N _{Ma}	18.01	0.0	0.0	0.0	0
W _{Ma}	95.41	0.0	0.0	0.0	0
R _{CIE}	39.92	58.66	26.98	64.57	25
J _{CIE}	81.26	-2.16	67.76	67.79	92
G _{CIE}	52.23	-42.25	11.76	43.87	164
B _{CIE}	30.57	1.15	-46.84	46.86	271

%Regularität

$g^*_{H,rel} = 57$

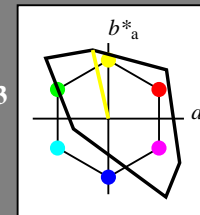
$g^*_{C,rel} = 59$

Ausgabe: Farbmatisches Fernseh-Licht-System TLS00

für Buntton $h^* = lab^*h = 103/360 = 0.286$
 lab^*tch und lab^*nch

A: Buntton Y
 LCH*Ma: 93 93 103
 olv*Ma: 1.0 1.0 0.0

Dreiecks-Helligkeit



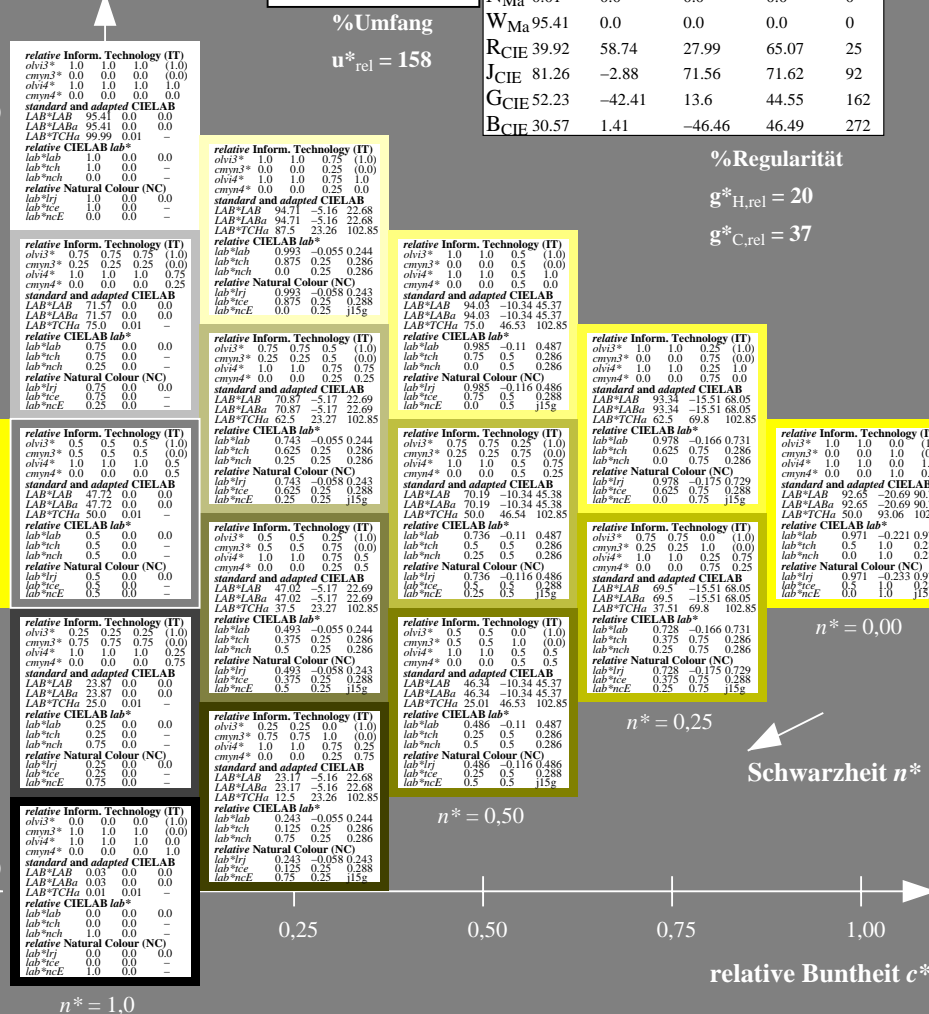
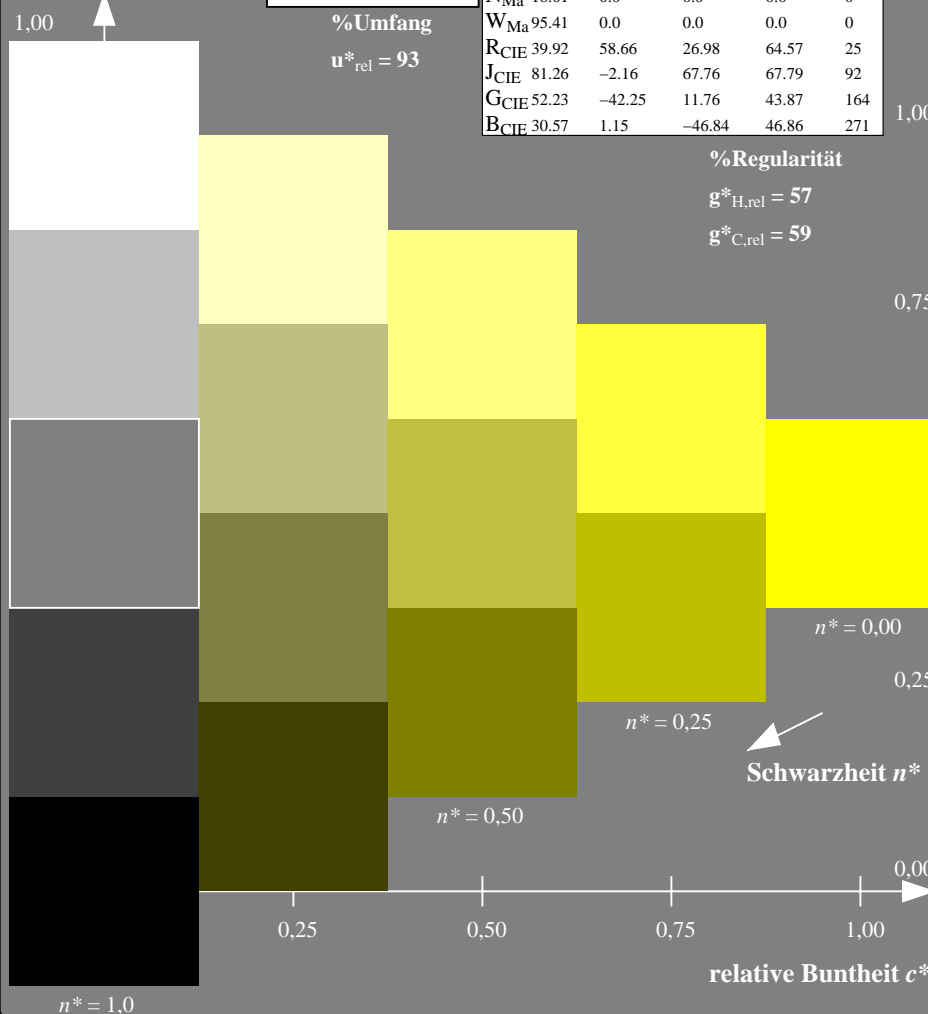
TLS00; adaptierte CIELAB-Daten

	$L^* = L^*_a$	a^*_a	b^*_a	$C^*_{ab,a}$	$h^*_{ab,a}$
O _{Ma}	50.5	76.92	64.55	100.42	40
Y _{Ma}	92.66	-20.69	90.75	93.08	103
L _{Ma}	83.63	-82.75	79.9	115.04	136
C _{Ma}	86.88	-46.16	-13.55	48.12	196
V _{Ma}	30.39	76.06	-103.59	128.52	306
M _{Ma}	57.3	94.35	-58.41	110.97	328
N _{Ma}	0.01	0.0	0.0	0.0	0
W _{Ma}	95.41	0.0	0.0	0.0	0
R _{CIE}	39.92	58.74	27.99	65.07	25
J _{CIE}	81.26	-2.88	71.56	71.62	92
G _{CIE}	52.23	-42.41	13.6	44.55	162
B _{CIE}	30.57	1.41	-46.46	46.49	272

%Regularität

$g^*_{H,rel} = 20$

$g^*_{C,rel} = 37$



RG400-7, 5stufige Reihen für konstanten CIELAB Buntton $96/360 = 0.268$ (links)

5stufige Reihen für konstanten CIELAB Buntton $103/360 = 0.286$ (rechts)

BAM-Prüfvorlage RG40; Farbmatrik-Systeme ORS18 & TLS00 input: $olv^* setrgbcolor$

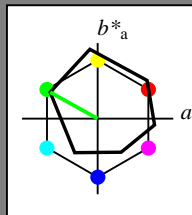
A: 5stufige Farbreihen und Koordinatendaten für 10 Bunttöne output: $olv^* setrgbcolor / w^* setgray$

Eingabe: Farbmetrisches Offset-Reflektiv-System ORS18

für Buntton $h^* = lab^*h = 151/360 = 0.419$
 lab^*tch und lab^*nch

A: Buntton L
 LCH*Ma: 51 72 151
 olv*Ma: 0.0 1.0 0.0

Dreiecks-Helligkeit



ORS18; adaptierte CIELAB-Daten

	$L^* = L^*_a$	a^*_a	b^*_a	$C^*_{ab,a}$	$h^*_{ab,a}$
O _{Ma}	47.94	65.39	50.52	82.63	38
Y _{Ma}	90.37	-10.26	91.75	92.32	96
L _{Ma}	50.9	-62.83	34.96	71.91	151
C _{Ma}	58.62	-30.34	-45.01	54.3	236
V _{Ma}	25.72	31.1	-44.4	54.22	305
M _{Ma}	48.13	75.28	-8.36	75.74	354
N _{Ma}	18.01	0.0	0.0	0.0	0
W _{Ma}	95.41	0.0	0.0	0.0	0
R _{CIE}	39.92	58.66	26.98	64.57	25
J _{CIE}	81.26	-2.16	67.76	67.79	92
G _{CIE}	52.23	-42.25	11.76	43.87	164
B _{CIE}	30.57	1.15	-46.84	46.86	271

%Regularität

$g^*_{H,rel} = 57$

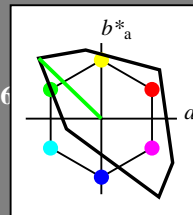
$g^*_{C,rel} = 59$

Ausgabe: Farbmetrisches Fernseh-Licht-System TLS00

für Buntton $h^* = lab^*h = 136/360 = 0.378$
 lab^*tch und lab^*nch

A: Buntton L
 LCH*Ma: 84 115 136
 olv*Ma: 0.0 1.0 0.0

Dreiecks-Helligkeit



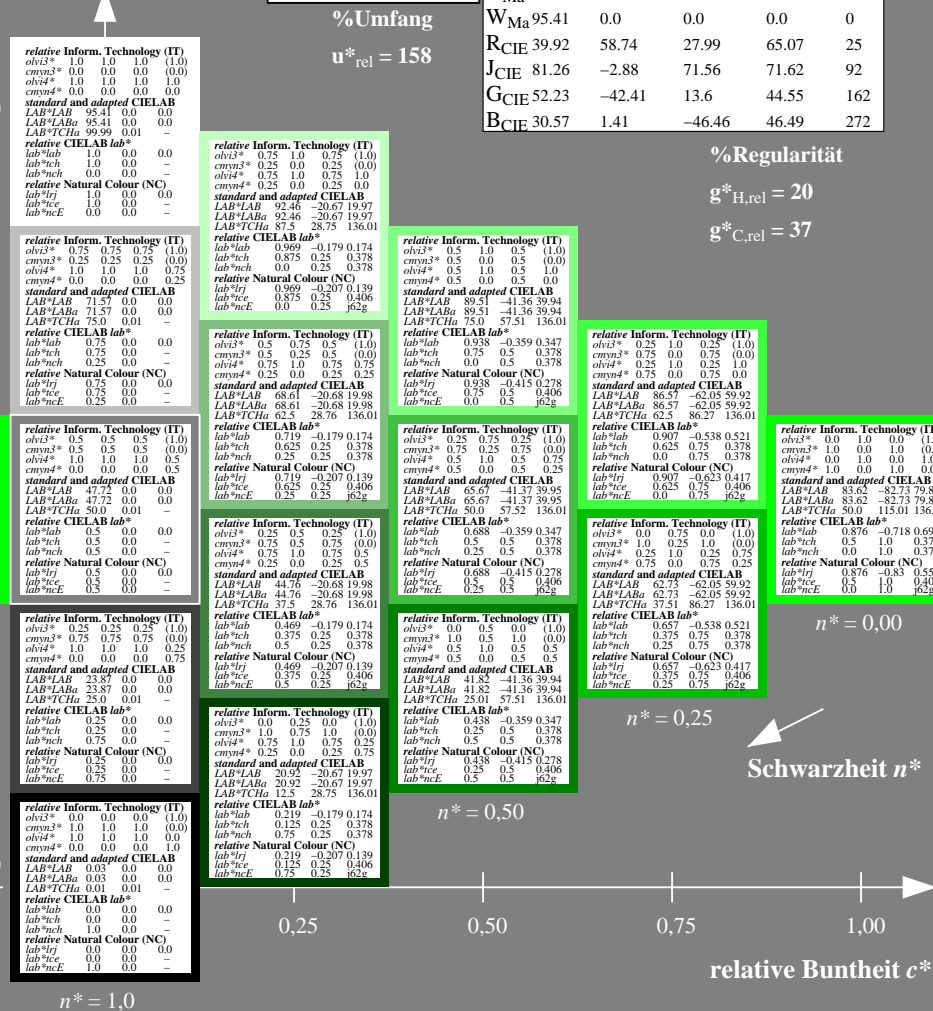
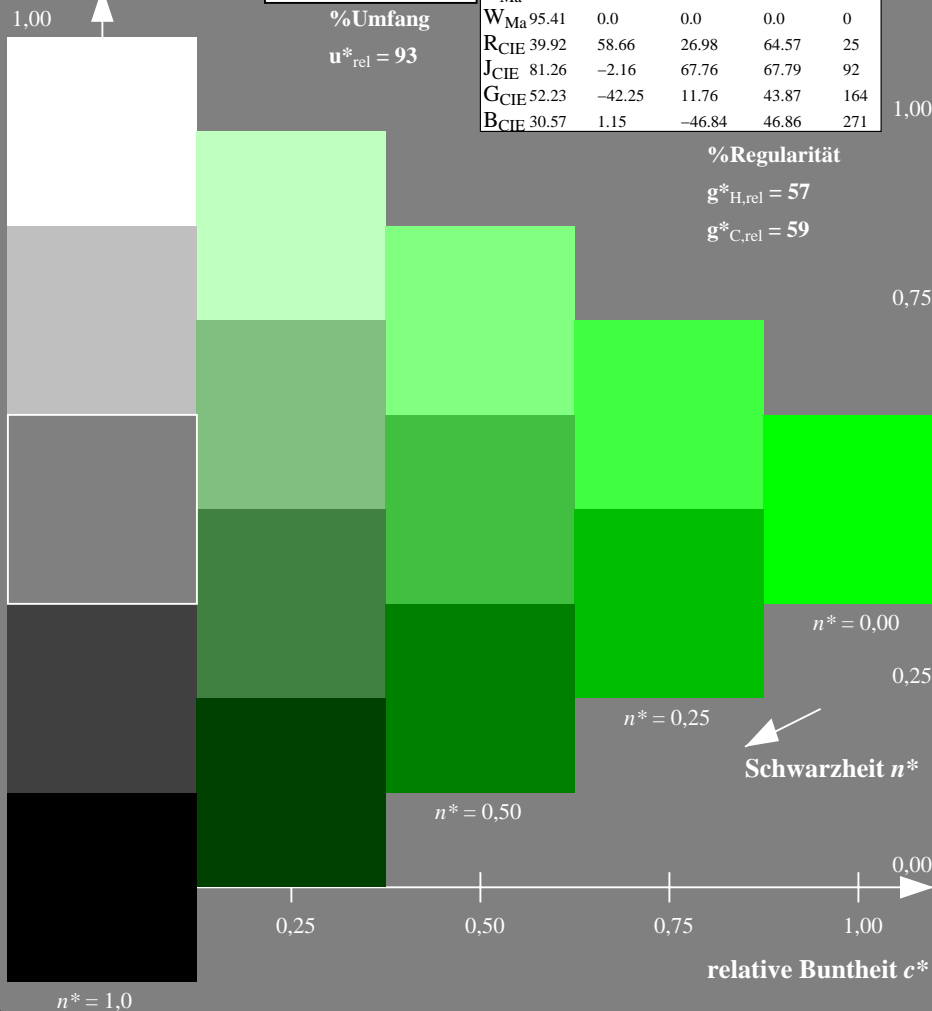
TLS00; adaptierte CIELAB-Daten

	$L^* = L^*_a$	a^*_a	b^*_a	$C^*_{ab,a}$	$h^*_{ab,a}$
O _{Ma}	50.5	76.92	64.55	100.42	40
Y _{Ma}	92.66	-20.69	90.75	93.08	103
L _{Ma}	83.63	-82.75	79.9	115.04	136
C _{Ma}	86.88	-46.16	-13.55	48.12	196
V _{Ma}	30.39	76.06	-103.59	128.52	306
M _{Ma}	57.3	94.35	-58.41	110.97	328
N _{Ma}	0.01	0.0	0.0	0.0	0
W _{Ma}	95.41	0.0	0.0	0.0	0
R _{CIE}	39.92	58.74	27.99	65.07	25
J _{CIE}	81.26	-2.88	71.56	71.62	92
G _{CIE}	52.23	-42.41	13.6	44.55	162
B _{CIE}	30.57	1.41	-46.46	46.49	272

%Regularität

$g^*_{H,rel} = 20$

$g^*_{C,rel} = 37$



RG400-7, 5stufige Reihen für konstanten CIELAB Buntton 151/360 = 0.419 (links)

5 stufige Reihen für konstanten CIELAB Buntton 136/360 = 0.378 (rechts)

BAM-Prüfvorlage RG40; Farbmetrik-Systeme ORS18 & TLS00 input: $olv^* setrgbcolor$

A: 5stufige Farbreihen und Koordinatendaten für 10 Bunttöne output: $olv^* setrgbcolor / w^* setgray$

Siehe ähnliche Dateien: <http://www.ps.bam.de/RG40/>
 Technische Information: <http://www.ps.bam.de/Version 2.1, io=1,1, CIELAB>

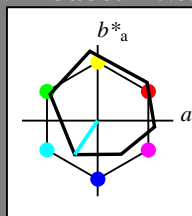
BAM-Registrierung: 20060101-RG40/10L/L40G02FP.PS/.PDF BAM-Material: Code=rhakta
 Anwendung für Beurteilung und Messung von Drucker- oder Monitorsystemen
 /RG40/ Form: 3/10, Serie: 1/1, Seite: 3
 Schenzzhang 3

Eingabe: Farbmetrisches Offset-Reflektiv-System ORS18

für Buntton $h^* = lab^*h = 236/360 = 0.656$
 lab^*tch und lab^*nch

A: Buntton C
 LCH*Ma: 59 54 236
 olv*Ma: 0.0 1.0 1.0

Dreiecks-Helligkeit



ORS18; adaptierte CIELAB-Daten

	$L^* = L^*_a$	a^*_a	b^*_a	$C^*_{ab,a}$	$h^*_{ab,a}$
O _{Ma}	47.94	65.39	50.52	82.63	38
Y _{Ma}	90.37	-10.26	91.75	92.32	96
L _{Ma}	50.9	-62.83	34.96	71.91	151
C _{Ma}	58.62	-30.34	-45.01	54.3	236
V _{Ma}	25.72	31.1	-44.4	54.22	305
M _{Ma}	48.13	75.28	-8.36	75.74	354
N _{Ma}	18.01	0.0	0.0	0.0	0
W _{Ma}	95.41	0.0	0.0	0.0	0
R _{CIE}	39.92	58.66	26.98	64.57	25
J _{CIE}	81.26	-2.16	67.76	67.79	92
G _{CIE}	52.23	-42.25	11.76	43.87	164
B _{CIE}	30.57	1.15	-46.84	46.86	271

%Regularität

$g^*_{H,rel} = 57$

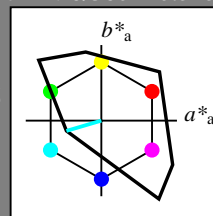
$g^*_{C,rel} = 59$

Ausgabe: Farbmetrisches Fernseh-Licht-System TLS00

für Buntton $h^* = lab^*h = 196/360 = 0.545$
 lab^*tch und lab^*nch

A: Buntton C
 LCH*Ma: 87 48 196
 olv*Ma: 0.0 1.0 1.0

Dreiecks-Helligkeit



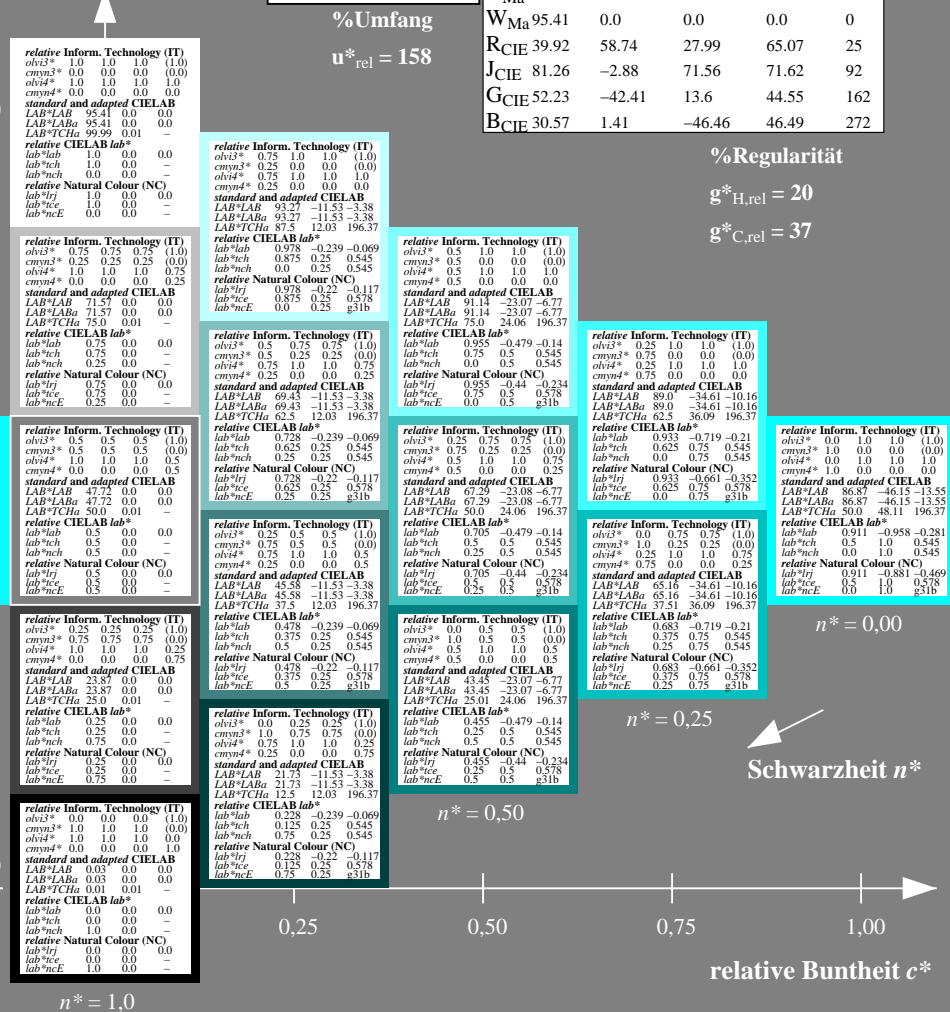
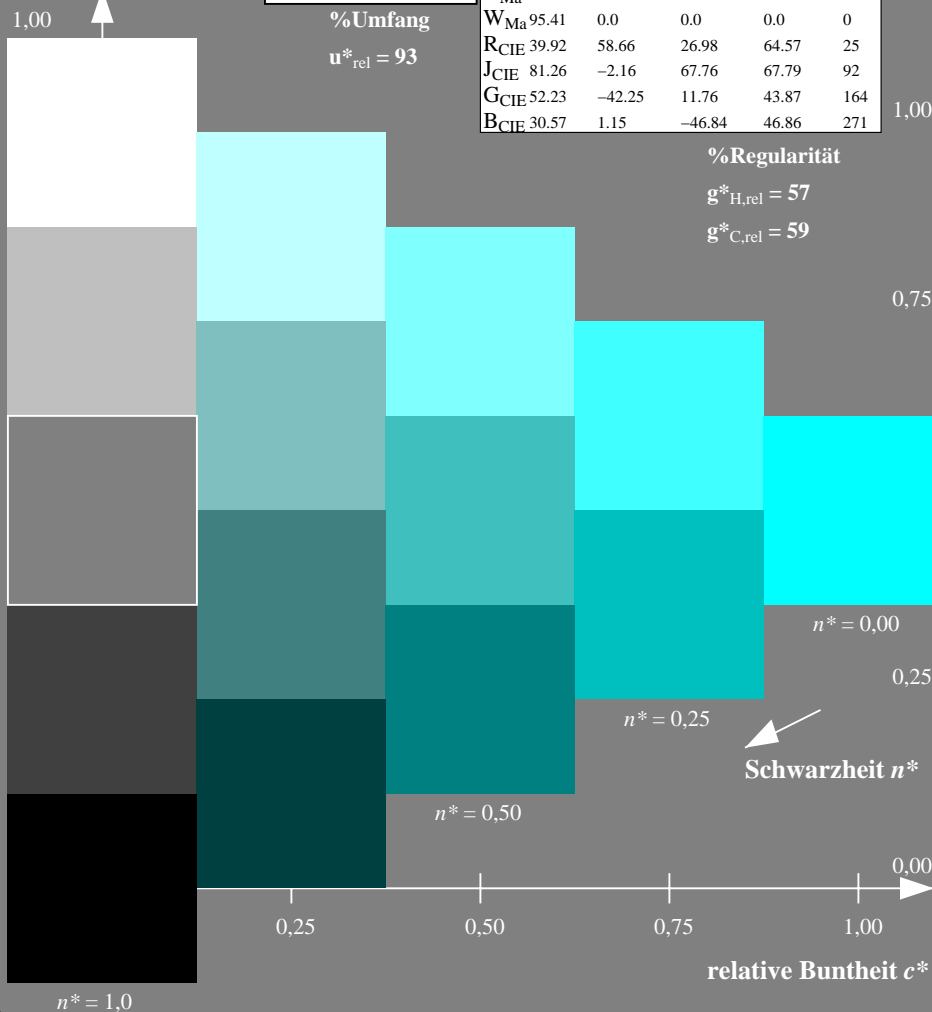
TLS00; adaptierte CIELAB-Daten

	$L^* = L^*_a$	a^*_a	b^*_a	$C^*_{ab,a}$	$h^*_{ab,a}$
O _{Ma}	50.5	76.92	64.55	100.42	40
Y _{Ma}	92.66	-20.69	90.75	93.08	103
L _{Ma}	83.63	-82.75	79.9	115.04	136
C _{Ma}	86.88	-46.16	-13.55	48.12	196
V _{Ma}	30.39	76.06	-103.59	128.52	306
M _{Ma}	57.3	94.35	-58.41	110.97	328
N _{Ma}	0.01	0.0	0.0	0.0	0
W _{Ma}	95.41	0.0	0.0	0.0	0
R _{CIE}	39.92	58.74	27.99	65.07	25
J _{CIE}	81.26	-2.88	71.56	71.62	92
G _{CIE}	52.23	-42.41	13.6	44.55	162
B _{CIE}	30.57	1.41	-46.46	46.49	272

%Regularität

$g^*_{H,rel} = 20$

$g^*_{C,rel} = 37$



RG400-7, 5stufige Reihen für konstanten CIELAB Buntton 236/360 = 0.656 (links)

5stufige Reihen für konstanten CIELAB Buntton 196/360 = 0.545 (rechts)

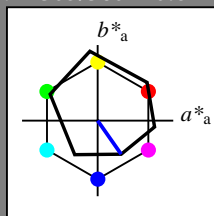
BAM-Prüfvorlage RG40; Farbmetrik-Systeme ORS18 & TLS00 input: $olv^* setrgbcolor$
 A: 5stufige Farbreihen und Koordinatendaten für 10 Bunttöne output: $olv^* setrgbcolor / w^* setgray$

Eingabe: Farbmatisches Offset-Reflektiv-System ORS18

für Buntton $h^* = lab^*h = 305/360 = 0.847$
 lab^*tch und lab^*nch

A: Buntton V
 LCH*Ma: 26 54 305
 olv*Ma: 0.0 0.0 1.0

Dreiecks-Helligkeit



ORS18; adaptierte CIELAB-Daten

	$L^* = L^*_a$	a^*_a	b^*_a	$C^*_{ab,a}$	$h^*_{ab,a}$
O _{Ma}	47.94	65.39	50.52	82.63	38
Y _{Ma}	90.37	-10.26	91.75	92.32	96
L _{Ma}	50.9	-62.83	34.96	71.91	151
C _{Ma}	58.62	-30.34	-45.01	54.3	236
V _{Ma}	25.72	31.1	-44.4	54.22	305
M _{Ma}	48.13	75.28	-8.36	75.74	354
N _{Ma}	18.01	0.0	0.0	0.0	0
W _{Ma}	95.41	0.0	0.0	0.0	0
R _{CIE}	39.92	58.66	26.98	64.57	25
J _{CIE}	81.26	-2.16	67.76	67.79	92
G _{CIE}	52.23	-42.25	11.76	43.87	164
B _{CIE}	30.57	1.15	-46.84	46.86	271

%Regularität

$g^*_{H,rel} = 57$

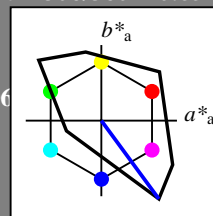
$g^*_{C,rel} = 59$

Ausgabe: Farbmatisches Fernseh-Licht-System TLS00

für Buntton $h^* = lab^*h = 306/360 = 0.851$
 lab^*tch und lab^*nch

A: Buntton V
 LCH*Ma: 30 129 306
 olv*Ma: 0.0 0.0 1.0

Dreiecks-Helligkeit



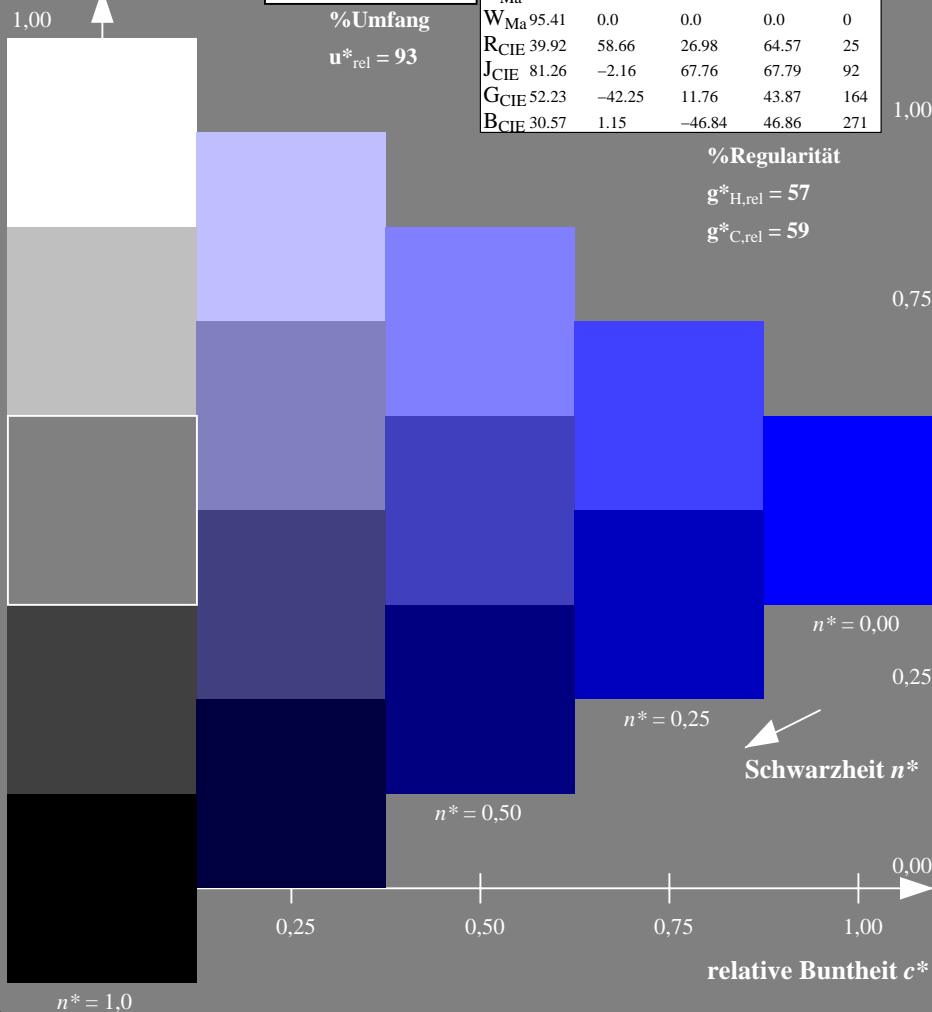
TLS00; adaptierte CIELAB-Daten

	$L^* = L^*_a$	a^*_a	b^*_a	$C^*_{ab,a}$	$h^*_{ab,a}$
O _{Ma}	50.5	76.92	64.55	100.42	40
Y _{Ma}	92.66	-20.69	90.75	93.08	103
L _{Ma}	83.63	-82.75	79.9	115.04	136
C _{Ma}	86.88	-46.16	-13.55	48.12	196
V _{Ma}	30.39	76.06	-103.59	128.52	306
M _{Ma}	57.3	94.35	-58.41	110.97	328
N _{Ma}	0.01	0.0	0.0	0.0	0
W _{Ma}	95.41	0.0	0.0	0.0	0
R _{CIE}	39.92	58.74	27.99	65.07	25
J _{CIE}	81.26	-2.88	71.56	71.62	92
G _{CIE}	52.23	-42.41	13.6	44.55	162
B _{CIE}	30.57	1.41	-46.46	46.49	272

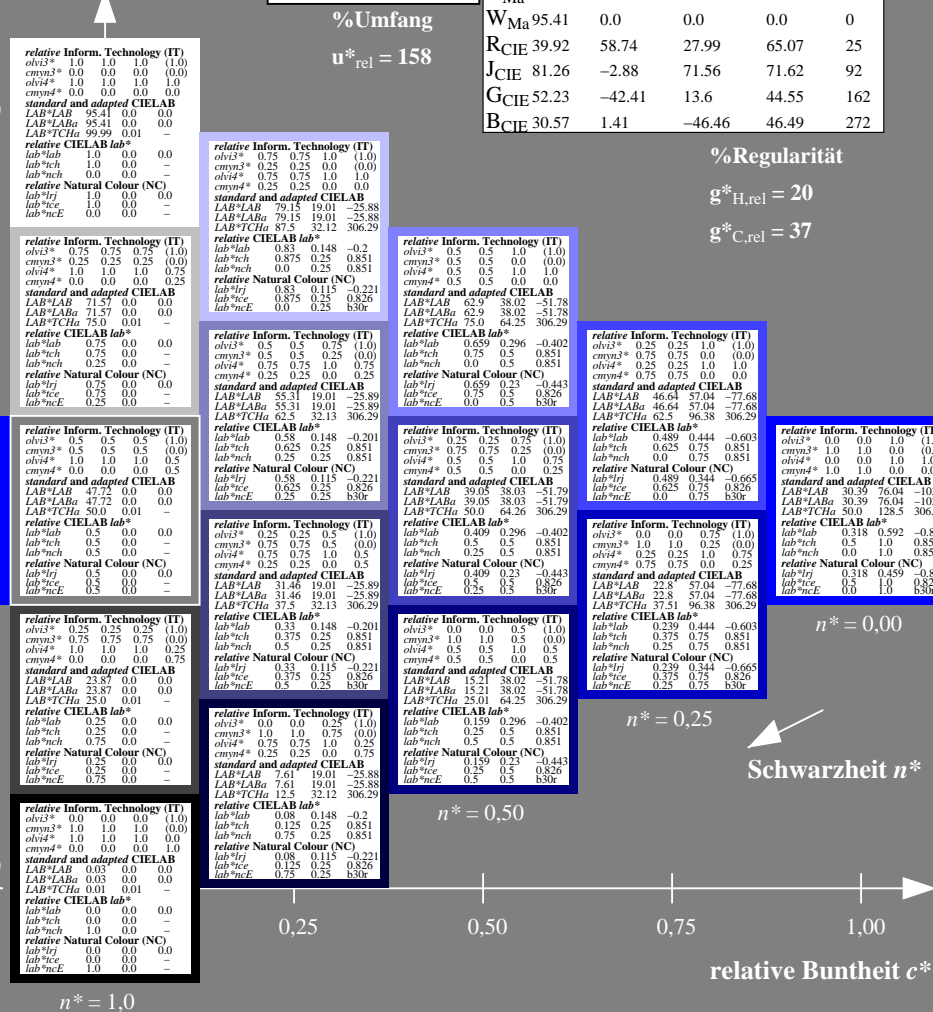
%Regularität

$g^*_{H,rel} = 20$

$g^*_{C,rel} = 37$



RG400-7, 5stufige Reihen für konstanten CIELAB Buntton 305/360 = 0.847 (links)



5 stufige Reihen für konstanten CIELAB Buntton 306/360 = 0.851 (rechts)

BAM-Prüfvorlage RG40; Farbmatrik-Systeme ORS18 & TLS00 input: $olv^* setrgbcolor$

A: 5stufige Farbreihen und Koordinatendaten für 10 Bunttöne output: $olv^* setrgbcolor / w^* setgray$

Siehe ähnliche Dateien: <http://www.ps.bam.de/RG40/>
 Technische Information: <http://www.ps.bam.de/Version 2.1, io=1.1, CIELAB>

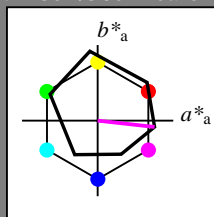
BAM-Registrierung: 20060101-RG40/10L/L40G04FP.PS/.PDF BAM-Material: Code=thata
 Anwendung für Beurteilung und Messung von Drucker- oder Monitorsystemen
 /RG40/ Form 5/10, Serie: 1/1, Seite: 5
 Scherz hlung 5

Eingabe: Farbmetrisches Offset-Reflektiv-System ORS18

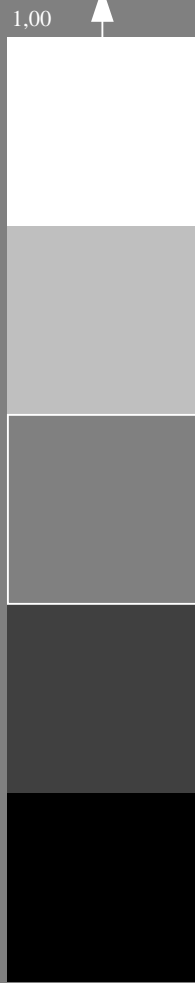
für Buntton $h^* = lab^*h = 354/360 = 0.982$
 lab^*tch und lab^*nch

A: Buntton M
 LCH*Ma: 48 76 354
 olv*Ma: 1.0 0.0 1.0

Dreiecks-Helligkeit



%Umfang
 $u^*_{rel} = 93$



RG400-7, 5stufige Reihen für konstanten CIELAB Buntton 354/360 = 0.982 (links)

ORS18; adaptierte CIELAB-Daten

	$L^* = L^*_a$	a^*_a	b^*_a	$C^*_{ab,a}$	$h^*_{ab,a}$
O _{Ma}	47.94	65.39	50.52	82.63	38
Y _{Ma}	90.37	-10.26	91.75	92.32	96
L _{Ma}	50.9	-62.83	34.96	71.91	151
C _{Ma}	58.62	-30.34	-45.01	54.3	236
V _{Ma}	25.72	31.1	-44.4	54.22	305
M _{Ma}	48.13	75.28	-8.36	75.74	354
N _{Ma}	18.01	0.0	0.0	0.0	0
W _{Ma}	95.41	0.0	0.0	0.0	0
R _{CIE}	39.92	58.66	26.98	64.57	25
J _{CIE}	81.26	-2.16	67.76	67.79	92
G _{CIE}	52.23	-42.25	11.76	43.87	164
B _{CIE}	30.57	1.15	-46.84	46.86	271

%Regularität

$g^*_{H,rel} = 57$

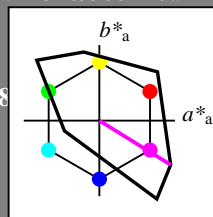
$g^*_{C,rel} = 59$

Ausgabe: Farbmetrisches Fernseh-Licht-System TLS00

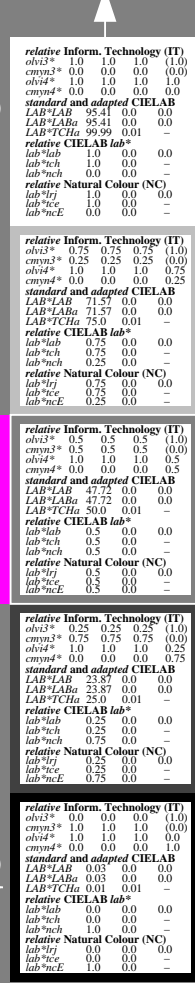
für Buntton $h^* = lab^*h = 328/360 = 0.912$
 lab^*tch und lab^*nch

A: Buntton M
 LCH*Ma: 57 111 328
 olv*Ma: 1.0 0.0 1.0

Dreiecks-Helligkeit



%Umfang
 $u^*_{rel} = 158$



5 stufige Reihen für konstanten CIELAB Buntton 328/360 = 0.912 (rechts)

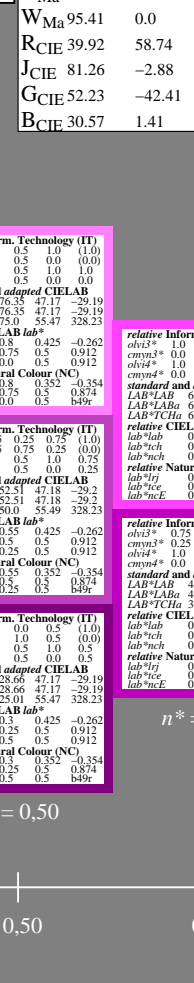
TLS00; adaptierte CIELAB-Daten

	$L^* = L^*_a$	a^*_a	b^*_a	$C^*_{ab,a}$	$h^*_{ab,a}$
O _{Ma}	50.5	76.92	64.55	100.42	40
Y _{Ma}	92.66	-20.69	90.75	93.08	103
L _{Ma}	83.63	-82.75	79.9	115.04	136
C _{Ma}	86.88	-46.16	-13.55	48.12	196
V _{Ma}	30.39	76.06	-103.59	128.52	306
M _{Ma}	57.3	94.35	-58.41	110.97	328
N _{Ma}	0.01	0.0	0.0	0.0	0
W _{Ma}	95.41	0.0	0.0	0.0	0
R _{CIE}	39.92	58.74	27.99	65.07	25
J _{CIE}	81.26	-2.88	71.56	71.62	92
G _{CIE}	52.23	-42.41	13.6	44.55	162
B _{CIE}	30.57	1.41	-46.46	46.49	272

%Regularität

$g^*_{H,rel} = 20$

$g^*_{C,rel} = 37$



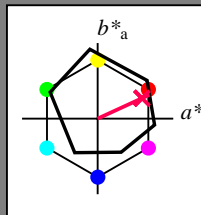
BAM-Prüfvorlage RG40; Farbmetrik-Systeme ORS18 & TLS00 input: `olv* setrgbcolor`
 A: 5stufige Farbreihen und Koordinatendaten für 10 Bunttöne output: `olv* setrgbcolor / w* setgray`

Eingabe: Farbmatisches Offset-Reflektiv-System ORS18

für Buntton $h^* = lab^*h = 25/360 = 0.069$
 lab^*tch und lab^*nch

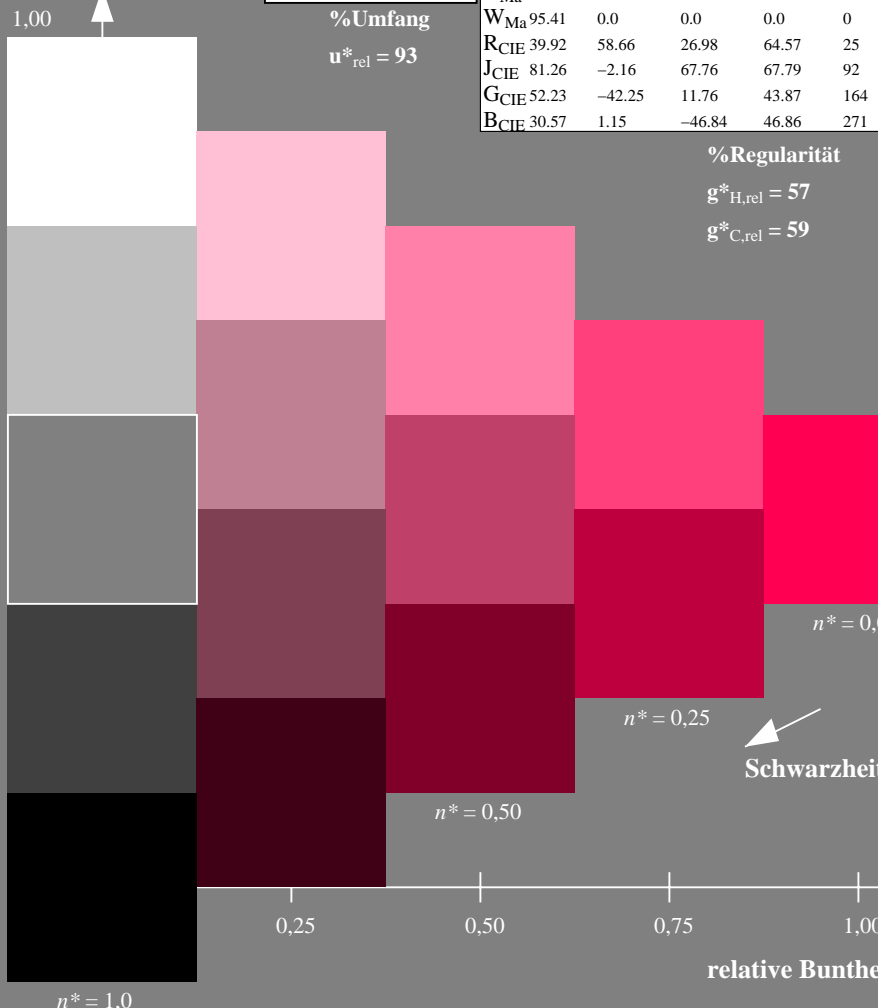
A: Buntton R
 LCH*Ma: 48 75 25
 olv*Ma: 1.0 0.0 0.32

Dreiecks-Helligkeit



%Umfang

$u^*_{rel} = 93$



RG400-7, 5stufige Reihen für konstanten CIELAB Buntton 25/360 = 0.069 (links)

BAM-Prüfvorlage RG40; Farbmatrik-Systeme ORS18 & TLS00 input: $olv^* setrgbcolor$

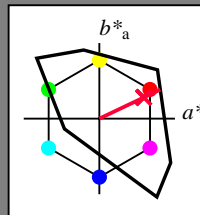
A: 5stufige Farbreihen und Koordinatendaten für 10 Bunttöne output: $olv^* setrgbcolor / w^* setgray$

Ausgabe: Farbmatisches Fernseh-Licht-System TLS00

für Buntton $h^* = lab^*h = 25/360 = 0.071$
 lab^*tch und lab^*nch

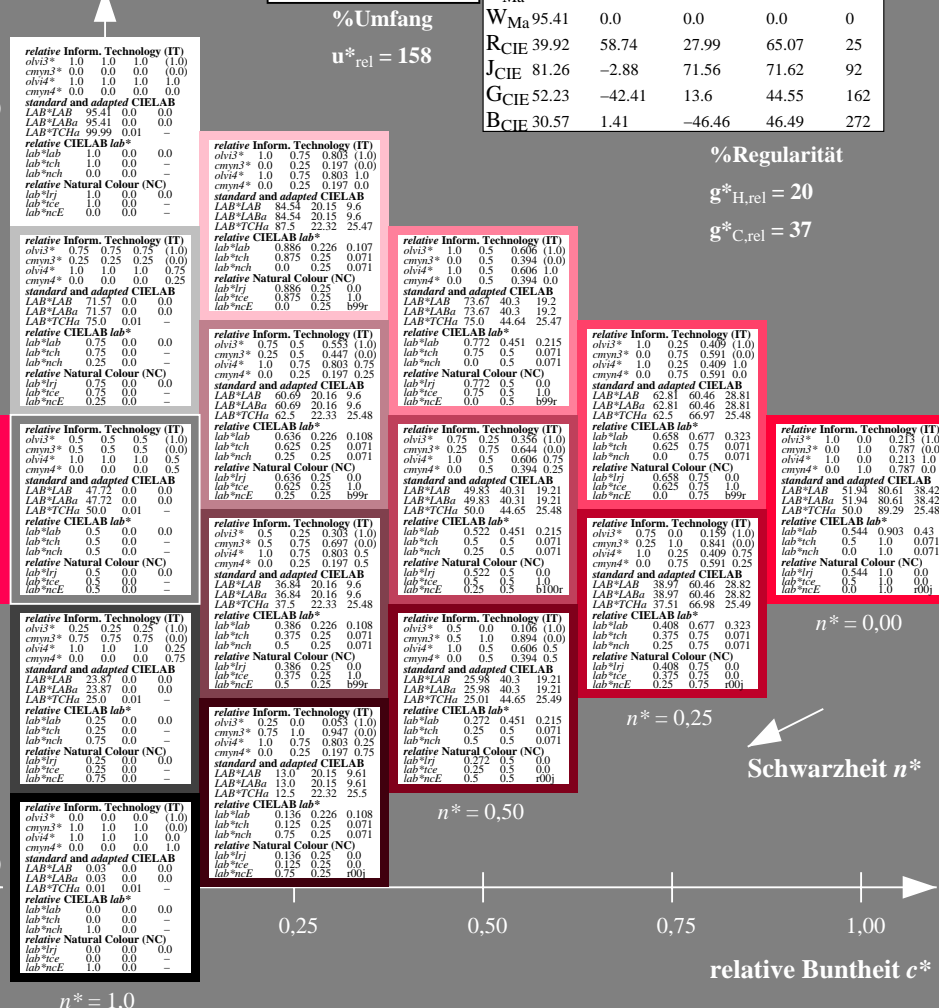
A: Buntton R
 LCH*Ma: 52 89 25
 olv*Ma: 1.0 0.0 0.21

Dreiecks-Helligkeit



%Umfang

$u^*_{rel} = 158$



5 stufige Reihen für konstanten CIELAB Buntton 25/360 = 0.071 (rechts)

ORS18; adaptierte CIELAB-Daten

	$L^* = L^*_a$	a^*_a	b^*_a	$C^*_{ab,a}$	$h^*_{ab,a}$
O _{Ma}	47.94	65.39	50.52	82.63	38
Y _{Ma}	90.37	-10.26	91.75	92.32	96
L _{Ma}	50.9	-62.83	34.96	71.91	151
C _{Ma}	58.62	-30.34	-45.01	54.3	236
V _{Ma}	25.72	31.1	-44.4	54.22	305
M _{Ma}	48.13	75.28	-8.36	75.74	354
N _{Ma}	18.01	0.0	0.0	0.0	0
W _{Ma}	95.41	0.0	0.0	0.0	0
R _{CIE}	39.92	58.66	26.98	64.57	25
J _{CIE}	81.26	-2.16	67.76	67.79	92
G _{CIE}	52.23	-42.25	11.76	43.87	164
B _{CIE}	30.57	1.15	-46.84	46.86	271

%Regularität

$g^*_{H,rel} = 57$
 $g^*_{C,rel} = 59$

relative Inform. Technology (IT)

obv3*	1.0	1.0	1.0	(1.0)
cmv3*	0.0	0.0	0.0	(0.0)
olv3*	1.0	1.0	1.0	1.0
cmv4*	0.0	0.0	0.0	0.0

standard and adapted CIELAB

LAB ^a LAB	95.41	0.0	0.0
LAB ^a LAb	95.41	0.0	0.0
LAB ^a TCh	99.99	0.01	-

relative CIELAB lab*

lab ^a lab	1.0	0.0	0.0
lab ^a nch	1.0	0.0	-
lab ^a tch	0.0	0.0	-

relative Natural Colour (NC)

lab ^a l*	1.0	0.0	0.0
lab ^a l**	1.0	0.0	-
lab ^a l**c	1.0	0.0	-
lab ^a n**c	0.0	0.0	-

relative Inform. Technology (IT)

obv3*	0.75	0.75	0.75	(1.0)
cmv3*	0.25	0.25	0.25	(0.0)
olv3*	1.0	1.0	1.0	1.0
cmv4*	0.0	0.0	0.0	0.0

standard and adapted CIELAB

LAB ^a LAB	71.57	0.0	0.0
LAB ^a LAb	71.57	0.0	0.0
LAB ^a TCh	75.0	0.01	-

relative CIELAB lab*

lab ^a lab	0.75	0.0	0.0
lab ^a nch	0.75	0.0	-
lab ^a tch	0.25	0.0	-

relative Natural Colour (NC)

lab ^a l*	0.75	0.0	0.0
lab ^a l**	0.75	0.0	-
lab ^a l**c	0.75	0.0	-
lab ^a n**c	0.25	0.0	-

relative Inform. Technology (IT)

obv3*	0.75	0.75	0.75	(1.0)
cmv3*	0.25	0.25	0.25	(0.0)
olv3*	1.0	1.0	1.0	1.0
cmv4*	0.0	0.0	0.0	0.0

standard and adapted CIELAB

LAB ^a LAB	60.69	20.16	9.6
LAB ^a LAb	60.69	20.16	9.6
LAB ^a TCh	62.5	22.33	25.48

relative CIELAB lab*

lab ^a lab	0.75	0.5	0.0
lab ^a nch	0.75	0.5	-
lab ^a tch	0.25	0.5	-

relative Natural Colour (NC)

lab ^a l*	0.75	0.5	0.0
lab ^a l**	0.75	0.5	-
lab ^a l**c	0.75	0.5	-
lab ^a n**c	0.25	0.5	-

relative Inform. Technology (IT)

obv3*	0.5	0.5	0.5	(1.0)
cmv3*	0.5	0.5	0.5	(0.0)
olv3*	1.0	1.0	1.0	1.0
cmv4*	0.0	0.0	0.0	0.0

standard and adapted CIELAB

LAB ^a LAB	47.72	0.0	0.0
LAB ^a LAb	47.72	0.0	0.0
LAB ^a TCh	50.0	0.01	-

relative CIELAB lab*

lab ^a lab	0.5	0.0	0.0
lab ^a nch	0.5	0.0	-
lab ^a tch	0.5	0.0	-

relative Natural Colour (NC)

lab ^a l*	0.5	0.0	0.0
lab ^a l**	0.5	0.0	-
lab ^a l**c	0.5	0.0	-
lab ^a n**c	0.5	0.0	-

relative Inform. Technology (IT)

obv3*	0.25	0.25	0.25	(1.0)
cmv3*	0.75	0.75	0.75	(0.0)
olv3*	1.0	1.0	1.0	1.0
cmv4*	0.0	0.0	0.0	0.0

standard and adapted CIELAB

LAB ^a LAB	23.87	0.0	0.0
LAB ^a LAb	23.87	0.0	0.0
LAB ^a TCh	25.0	0.01	-

relative CIELAB lab*

lab ^a lab	0.25	0.0	0.0
lab ^a nch	0.25	0.0	-
lab ^a tch	0.25	0.0	-

relative Natural Colour (NC)

lab ^a l*	0.25	0.0	0.0
lab ^a l**	0.25	0.0	-
lab ^a l**c	0.25	0.0	-
lab ^a n**c	0.75	0.0	-

relative Inform. Technology (IT)

obv3*	0.25	0.25	0.25	(1.0)
cmv3*	0.75	0.75	0.75	(0.0)
olv3*	1.0	1.0	1.0	1.0
cmv4*	0.0	0.0	0.0	0.0

standard and adapted CIELAB

LAB ^a LAB	12.5	0.0	0.0
LAB ^a LAb	12.5	0.0	0.0
LAB ^a TCh	12.5	0.01	-

relative CIELAB lab*

lab ^a lab	0.136	0.226	0.108
lab ^a nch	0.136	0.226	0.108
lab ^a tch	0.225	0.25	0.071

relative Natural Colour (NC)

lab ^a l*	0.136	0.225	0.0
lab ^a l**	0.136	0.225	0.0
lab ^a l**c	0.136	0.225	0.0
lab ^a n**c	0.75	0.25	0.0

relative Inform. Technology (IT)

obv3*	0.0	0.0	0.0	(1.0)
cmv3*	1.0	1.0	1.0	(0.0)
olv3*	1.0	1.0	1.0	1.0
cmv4*	0.0	0.0	0.0	0.0

standard and adapted CIELAB

LAB ^a LAB	0.03	0.0	0.0
LAB ^a LAb	0.03	0.0	0.0
LAB ^a TCh	0.0	0.01	-

relative CIELAB lab*

lab ^a lab	0.0	0.0	0.0
lab ^a nch	0.0	0.0	0.0
lab ^a tch	0.0	0.0	0.0

relative Natural Colour (NC)

lab ^a l*	0.0	0.0	0.0
lab ^a l**	0.0	0.0	0.0
lab ^a l**c	0.0	0.0	0.0
lab ^a n**c	1.0	0.0	-

relative Inform. Technology (IT)

obv3*	0.25	0.25	0.25	(1.0)
cmv3*	0.75	0.75	0.75	(0.0)
olv3*	1.0	1.0	1.0	1.0
cmv4*	0.0	0.0	0.0	0.0

standard and adapted CIELAB

LAB ^a LAB	13.0	20.15	9.61
LAB ^a LAb	13.0	20.15	9.61
LAB ^a TCh	12.5	22.32	25.5

relative CIELAB lab*

lab ^a lab	0.25	0.0	0.083	(1.0)
lab ^a nch	0.25	0.0	0.083	(1.0)
lab ^a tch	0.25	0.0	0.083	(1.0)

relative Natural Colour (NC)

lab ^a l*	0.25	0.0	0.083	(1.0)
lab ^a l**	0.25	0.0	0.083	(1.0)
lab ^a l**c	0.25	0.0	0.083	(1.0)
lab ^a n**c	0.75	0.25	0.0	(0.0)

relative Inform. Technology (IT)

obv3*	0.0	0.0	0.0	(1.0)
cmv3*	1.0	1.0	1.0	(0.0)
olv3*	1.0	1.0	1.0	1.0
cmv4*	0.0	0.0	0.0	0.0

standard and adapted CIELAB

LAB ^a LAB	0.03	0.0	0.0
LAB ^a LAb	0.03	0.0	0.0
LAB ^a TCh	0.0	0.01	-

relative CIELAB lab*

lab ^a lab	0.0	0.0	0.0
lab ^a nch	0.0	0.0	0.0
lab ^a tch	0.0	0.0	0.0

relative Natural Colour (NC)

lab ^a l*	0.0	0.0	0.0
lab ^a l**	0.0	0.0	0.0
lab ^a l**c	0.0	0.0	0.0
lab ^a n**c	1.0	0.0	-

relative Inform. Technology (IT)

obv3*	0.0	0.0	0.0	(1.0)
cmv3*	1.0	1.0	1.0	(0.0)
olv3*	1.0	1.0	1.0	1.0
cmv4*	0.0	0.0	0.0	0.0

standard and adapted CIELAB

LAB ^a LAB	0.03	0.0	0.0
LAB ^a LAb	0.03	0.0	0.0
LAB ^a TCh	0.0	0.01	-

relative CIELAB lab*

lab ^a lab	0.0	0.0	0.0
lab ^a nch	0.0	0.0	0.0
lab ^a tch	0.0	0.0	0.0

relative Natural Colour (NC)

lab ^a l*	0.0	0.0	0.0
lab ^a l**	0.0	0.0	0.0
lab ^a l**c	0.0	0.0	0.0
lab ^a n**c	1.0	0.0	-

relative Inform. Technology (IT)

obv3*	1.0	0.75	0.803	(1.0)
cmv3*	0.0	0.25	0.197	(0.0)
olv3*	1.0	0.75	0.803	1.0
cmv4*	0.0	0.25	0.197	0.0

standard and adapted CIELAB

LAB ^a LAB	84.54	20.15	9.6
LAB ^a LAb	84.54	20.15	9.6
LAB ^a TCh	87.5	22.32	25.47

relative CIELAB lab*

lab ^a lab	1.0	0.75	0.803	(1.0)
lab ^a nch	1.0	0.75	0.803	(1.0)
lab ^a tch	0.75	0.25	0.071	(0.0)

relative Natural Colour (NC)

lab ^a l*	1.0	0.75	0.803	(1.0)
lab ^a l**	1.0	0.75	0.803	(1.0)
lab ^a l**c	1.0	0.75	0.803	(1.0)
lab ^a n**c	0.0	0.25	0.197	(0.0)

relative Inform. Technology (IT)

obv3*	0.75	0.75	0.75	(1.0)
cmv3*	0.25	0.25	0.25	(0.0)
olv3*	1.0	1.0	1.0	1.0
cmv4*	0.0	0.0	0.0	0.0

standard and adapted CIELAB

LAB ^a LAB	60.69	20.16	9.6
LAB ^a LAb	60.69	20.16	9.6
LAB ^a TCh	62.5	22.33	25.48

relative CIELAB lab*

lab ^a lab	0.75	0.5	0.108	(1.0)
lab ^a nch	0.75	0.5	0.108	(1.0)
lab ^a tch	0.25	0.5	0.071	(0.0)

relative Natural Colour (NC)

lab ^a l*	0.75	0.5	0.108	(1.0)
lab ^a l**	0.75	0.5	0.108	(1.0)
lab ^a l**c	0.75	0.5	0.108	(1.0)
lab ^a n**c	0.25	0.5	0.071	(0.0)

relative Inform. Technology (IT)

obv3*	0.5	0.5	0.5	(1.0)
cmv3*	0.5	0.5	0.5	(0.0)
olv3*	1.0	1.0	1.0	1.0
cmv4*	0.0	0.0	0.0	0.0

standard and adapted CIELAB

LAB ^a LAB	49.83	40.31	19.21
LAB ^a LAb	49.83	40.31	19.21
LAB ^a TCh	50.0	44.65	25.48

relative CIELAB lab*

lab ^a lab	0.5	0.5	0.215	(1.0)
lab ^a nch	0.5	0.5	0.215	(1.0)
lab ^a tch	0.5	0.5	0.071	(0.0)

relative Natural Colour (NC)

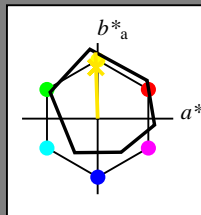
lab ^a l*

Eingabe: Farbmetrisches Offset-Reflektiv-System ORS18

für Buntton $h^* = lab^*h = 92/360 = 0.255$
 lab^*tch und lab^*nch

A: Buntton J
 LCH*Ma: 86 88 92
 olv*Ma: 1.0 0.9 0.0

Dreiecks-Helligkeit



ORS18; adaptierte CIELAB-Daten					
	$L^* = L^*_a$	a^*_a	b^*_a	$C^*_{ab,a}$	$h^*_{ab,a}$
O _{Ma}	47.94	65.39	50.52	82.63	38
Y _{Ma}	90.37	-10.26	91.75	92.32	96
L _{Ma}	50.9	-62.83	34.96	71.91	151
C _{Ma}	58.62	-30.34	-45.01	54.3	236
V _{Ma}	25.72	31.1	-44.4	54.22	305
M _{Ma}	48.13	75.28	-8.36	75.74	354
N _{Ma}	18.01	0.0	0.0	0.0	0
W _{Ma}	95.41	0.0	0.0	0.0	0
R _{CIE}	39.92	58.66	26.98	64.57	25
J _{CIE}	81.26	-2.16	67.76	67.79	92
G _{CIE}	52.23	-42.25	11.76	43.87	164
B _{CIE}	30.57	1.15	-46.84	46.86	271

%Regularität

$g^*_{H,rel} = 57$

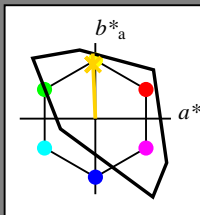
$g^*_{C,rel} = 59$

Ausgabe: Farbmetrisches Fernseh-Licht-System TLS00

für Buntton $h^* = lab^*h = 92/360 = 0.256$
 lab^*tch und lab^*nch

A: Buntton J
 LCH*Ma: 85 86 92
 olv*Ma: 1.0 0.82 0.0

Dreiecks-Helligkeit

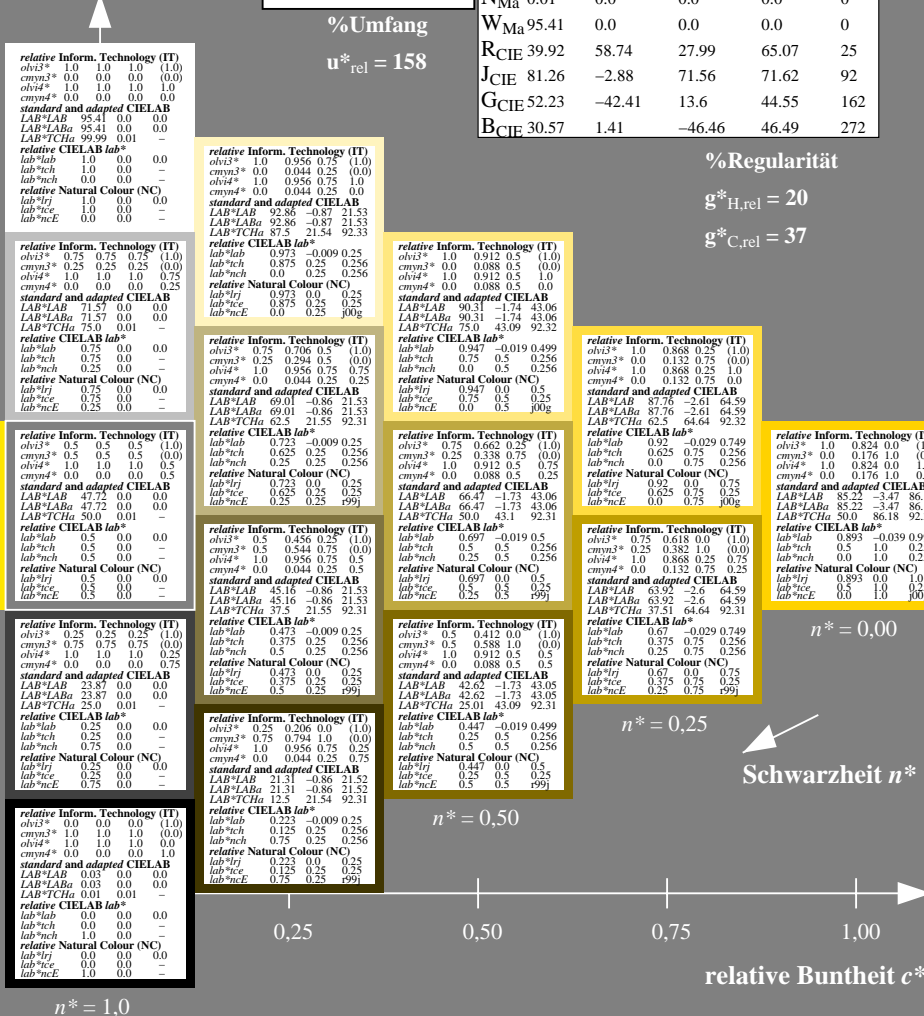
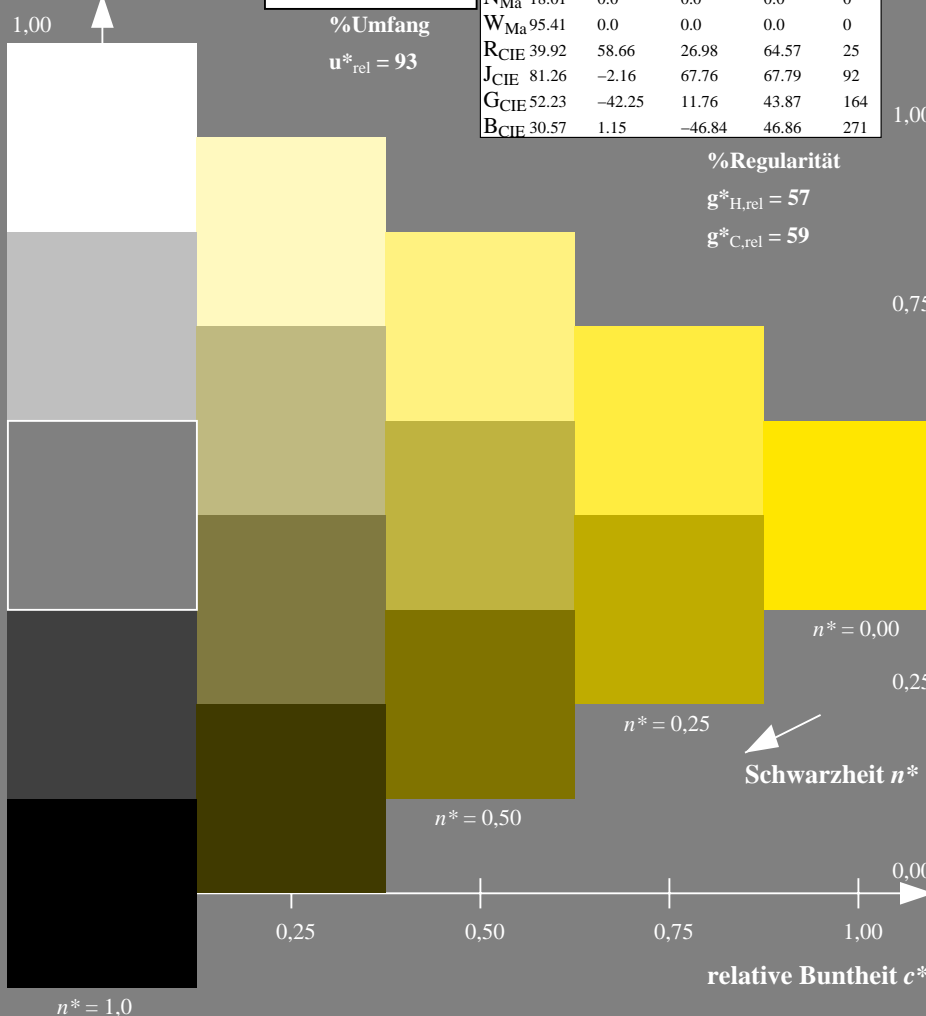


TLS00; adaptierte CIELAB-Daten					
	$L^* = L^*_a$	a^*_a	b^*_a	$C^*_{ab,a}$	$h^*_{ab,a}$
O _{Ma}	50.5	76.92	64.55	100.42	40
Y _{Ma}	92.66	-20.69	90.75	93.08	103
L _{Ma}	83.63	-82.75	79.9	115.04	136
C _{Ma}	86.88	-46.16	-13.55	48.12	196
V _{Ma}	30.39	76.06	-103.59	128.52	306
M _{Ma}	57.3	94.35	-58.41	110.97	328
N _{Ma}	0.01	0.0	0.0	0.0	0
W _{Ma}	95.41	0.0	0.0	0.0	0
R _{CIE}	39.92	58.74	27.99	65.07	25
J _{CIE}	81.26	-2.88	71.56	71.62	92
G _{CIE}	52.23	-42.41	13.6	44.55	162
B _{CIE}	30.57	1.41	-46.46	46.49	272

%Regularität

$g^*_{H,rel} = 20$

$g^*_{C,rel} = 37$



RG400-7, 5stufige Reihen für konstanten CIELAB Buntton 92/360 = 0.255 (links)

5 stufige Reihen für konstanten CIELAB Buntton 92/360 = 0.256 (rechts)

BAM-Prüfvorlage RG40; Farbmetrik-Systeme ORS18 & TLS00 input: $olv^* setrgbcolor$

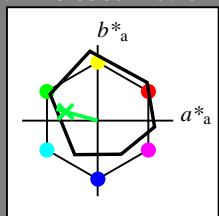
A: 5stufige Farbreihen und Koordinatendaten für 10 Bunttöne output: $olv^* setrgbcolor / w^* setgray$

Eingabe: Farbmatisches Offset-Reflektiv-System ORS18

für Buntton $h^* = lab^*h = 164/360 = 0.457$
 lab^*tch und lab^*nch

A: Buntton G
 LCH*Ma: 53 57 164
 olv*Ma: 0.0 1.0 0.25

Dreiecks-Helligkeit



ORS18; adaptierte CIELAB-Daten

	$L^* = L^*_a$	a^*_a	b^*_a	$C^*_{ab,a}$	$h^*_{ab,a}$
O _{Ma}	47.94	65.39	50.52	82.63	38
Y _{Ma}	90.37	-10.26	91.75	92.32	96
L _{Ma}	50.9	-62.83	34.96	71.91	151
C _{Ma}	58.62	-30.34	-45.01	54.3	236
V _{Ma}	25.72	31.1	-44.4	54.22	305
M _{Ma}	48.13	75.28	-8.36	75.74	354
N _{Ma}	18.01	0.0	0.0	0.0	0
W _{Ma}	95.41	0.0	0.0	0.0	0
R _{CIE}	39.92	58.66	26.98	64.57	25
J _{CIE}	81.26	-2.16	67.76	67.79	92
G _{CIE}	52.23	-42.25	11.76	43.87	164
B _{CIE}	30.57	1.15	-46.84	46.86	271

%Regularität

$g^*_{H,rel} = 57$

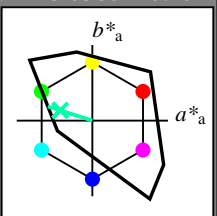
$g^*_{C,rel} = 59$

Ausgabe: Farbmatisches Fernseh-Licht-System TLS00

für Buntton $h^* = lab^*h = 162/360 = 0.451$
 lab^*tch und lab^*nch

A: Buntton G
 LCH*Ma: 86 62 162
 olv*Ma: 0.0 1.0 0.65

Dreiecks-Helligkeit



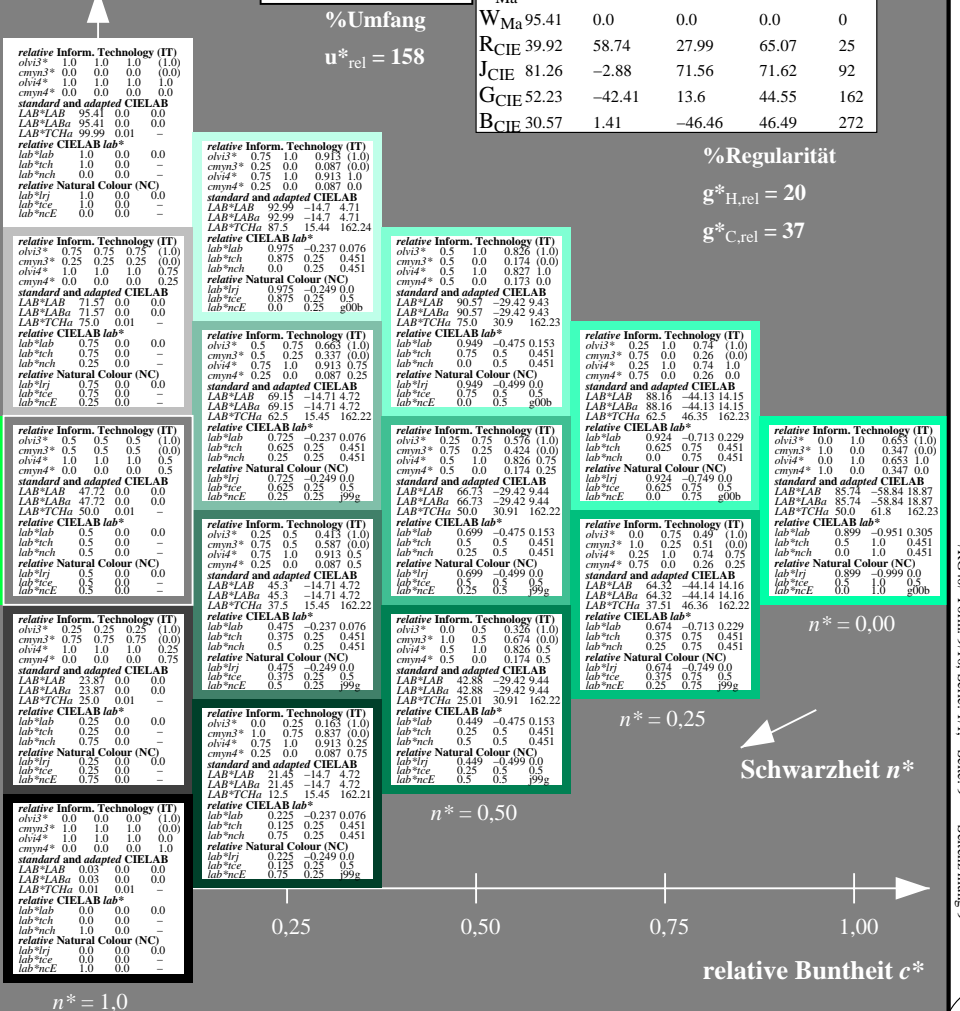
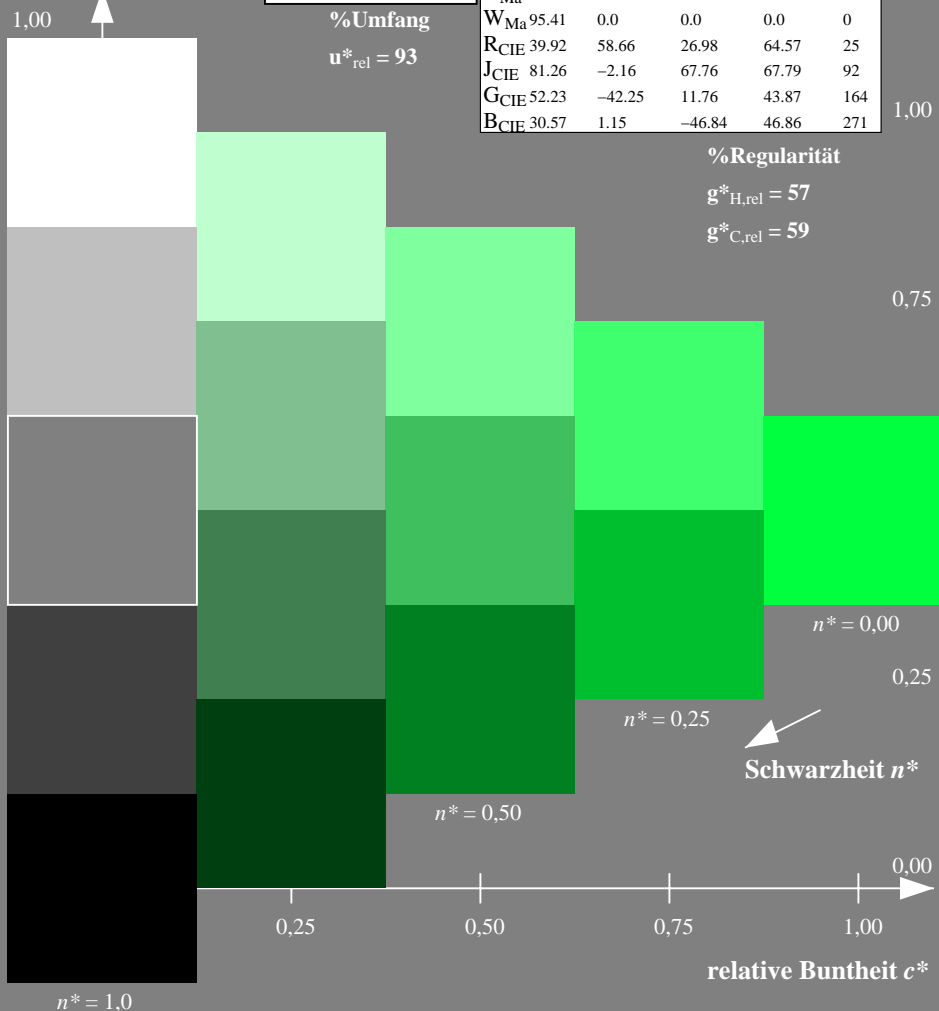
TLS00; adaptierte CIELAB-Daten

	$L^* = L^*_a$	a^*_a	b^*_a	$C^*_{ab,a}$	$h^*_{ab,a}$
O _{Ma}	50.5	76.92	64.55	100.42	40
Y _{Ma}	92.66	-20.69	90.75	93.08	103
L _{Ma}	83.63	-82.75	79.9	115.04	136
C _{Ma}	86.88	-46.16	-13.55	48.12	196
V _{Ma}	30.39	76.06	-103.59	128.52	306
M _{Ma}	57.3	94.35	-58.41	110.97	328
N _{Ma}	0.01	0.0	0.0	0.0	0
W _{Ma}	95.41	0.0	0.0	0.0	0
R _{CIE}	39.92	58.74	27.99	65.07	25
J _{CIE}	81.26	-2.88	71.56	71.62	92
G _{CIE}	52.23	-42.41	13.6	44.55	162
B _{CIE}	30.57	1.41	-46.46	46.49	272

%Regularität

$g^*_{H,rel} = 20$

$g^*_{C,rel} = 37$



RG400-7, 5stufige Reihen für konstanten CIELAB Buntton 164/360 = 0.457 (links)

5 stufige Reihen für konstanten CIELAB Buntton 162/360 = 0.451 (rechts)

BAM-Prüfvorlage RG40; Farbmatrik-Systeme ORS18 & TLS00 input: $olv^* setrgbcolor$

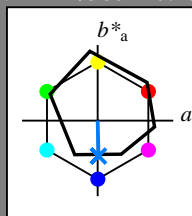
A: 5stufige Farbreihen und Koordinatendaten für 10 Bunttöne output: $olv^* setrgbcolor / w^* setgray$

Eingabe: Farbmatisches Offset-Reflektiv-System ORS18

für Buntton $h^* = lab^*h = 271/360 = 0.754$
 lab^*tch und lab^*nch

A: Buntton B
 LCH*Ma: 42 45 271
 olv*Ma: 0.0 0.49 1.0

Dreiecks-Helligkeit



ORS18; adaptierte CIELAB-Daten

	$L^* = L^*_a$	a^*_a	b^*_a	$C^*_{ab,a}$	$h^*_{ab,a}$
O _{Ma}	47.94	65.39	50.52	82.63	38
Y _{Ma}	90.37	-10.26	91.75	92.32	96
L _{Ma}	50.9	-62.83	34.96	71.91	151
C _{Ma}	58.62	-30.34	-45.01	54.3	236
V _{Ma}	25.72	31.1	-44.4	54.22	305
M _{Ma}	48.13	75.28	-8.36	75.74	354
N _{Ma}	18.01	0.0	0.0	0.0	0
W _{Ma}	95.41	0.0	0.0	0.0	0
R _{CIE}	39.92	58.66	26.98	64.57	25
J _{CIE}	81.26	-2.16	67.76	67.79	92
G _{CIE}	52.23	-42.25	11.76	43.87	164
B _{CIE}	30.57	1.15	-46.84	46.86	271

%Regularität

$g^*_{H,rel} = 57$

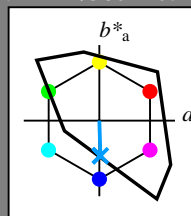
$g^*_{C,rel} = 59$

Ausgabe: Farbmatisches Fernseh-Licht-System TLS00

für Buntton $h^* = lab^*h = 272/360 = 0.755$
 lab^*tch und lab^*nch

A: Buntton B
 LCH*Ma: 65 49 272
 olv*Ma: 0.0 0.61 1.0

Dreiecks-Helligkeit



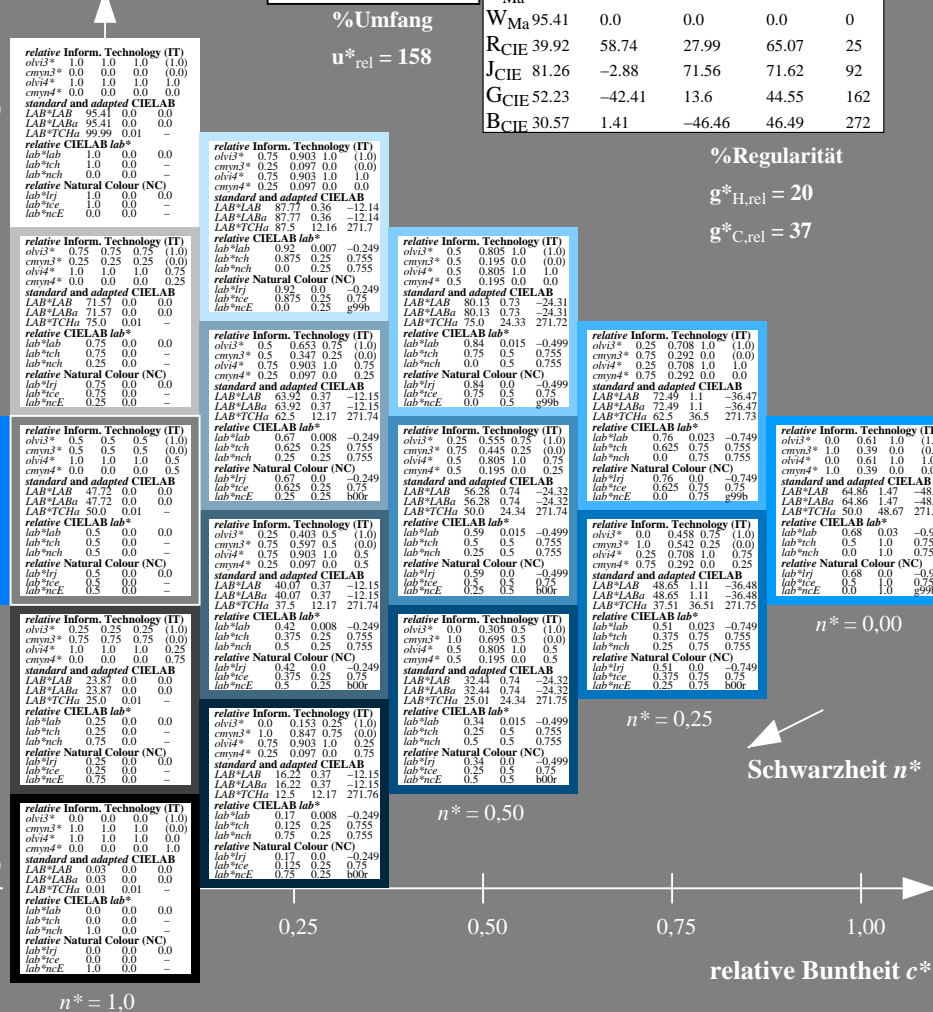
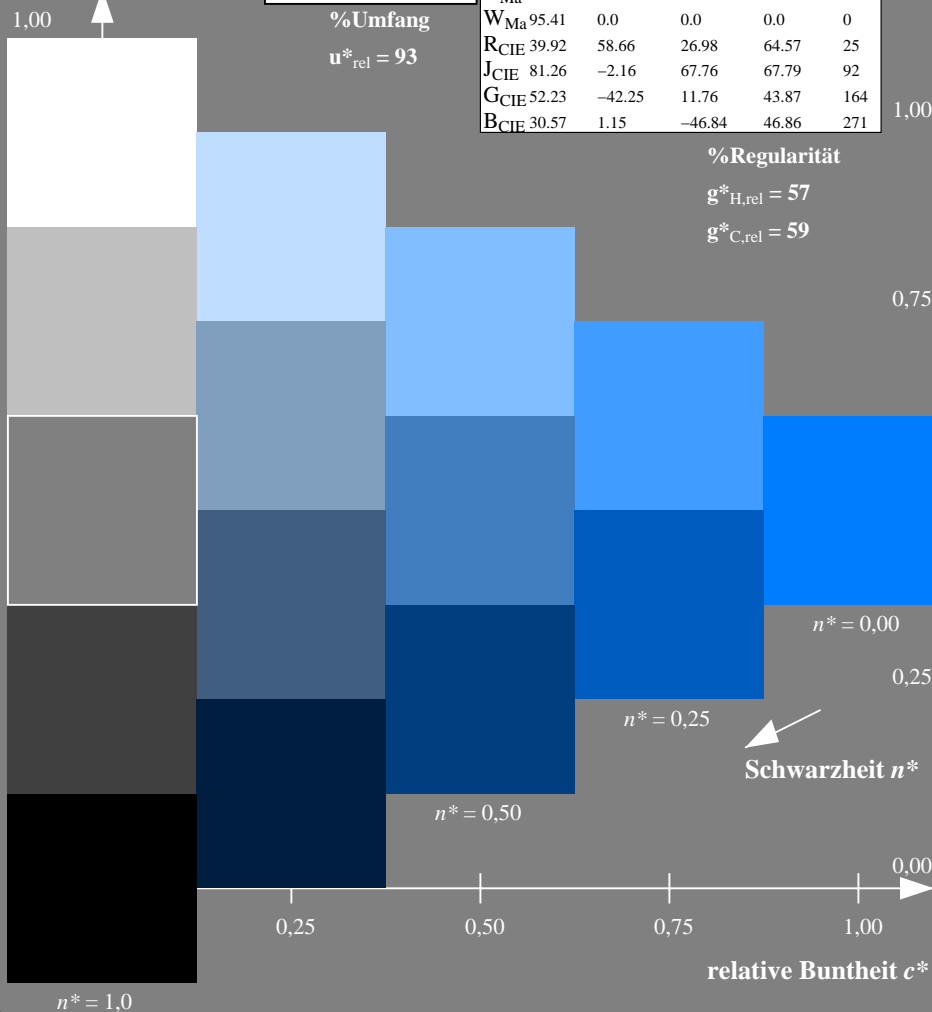
TLS00; adaptierte CIELAB-Daten

	$L^* = L^*_a$	a^*_a	b^*_a	$C^*_{ab,a}$	$h^*_{ab,a}$
O _{Ma}	50.5	76.92	64.55	100.42	40
Y _{Ma}	92.66	-20.69	90.75	93.08	103
L _{Ma}	83.63	-82.75	79.9	115.04	136
C _{Ma}	86.88	-46.16	-13.55	48.12	196
V _{Ma}	30.39	76.06	-103.59	128.52	306
M _{Ma}	57.3	94.35	-58.41	110.97	328
N _{Ma}	0.01	0.0	0.0	0.0	0
W _{Ma}	95.41	0.0	0.0	0.0	0
R _{CIE}	39.92	58.74	27.99	65.07	25
J _{CIE}	81.26	-2.88	71.56	71.62	92
G _{CIE}	52.23	-42.41	13.6	44.55	162
B _{CIE}	30.57	1.41	-46.46	46.49	272

%Regularität

$g^*_{H,rel} = 20$

$g^*_{C,rel} = 37$



RG400-7, 5stufige Reihen für konstanten CIELAB Buntton 271/360 = 0.754 (links)

5 stufige Reihen für konstanten CIELAB Buntton 272/360 = 0.755 (rechts)

BAM-Prüfvorlage RG40; Farbmatrik-Systeme ORS18 & TLS00 input: olv* setrgbcolor

A: 5stufige Farbreihen und Koordinatendaten für 10 Bunttöne output: olv* setrgbcolor / w* setgray

Siehe ähnliche Dateien: <http://www.ps.bam.de/RG40/>
 Technische Information: <http://www.ps.bam.de/Version 2.1, io=1.1, CIELAB>

BAM-Registrierung: 20060101-RG40/10L/L40G09FP.PS/.PDF BAM-Material: Code=thakta
 Anwendung für Beurteilung und Messung von Drucker- oder Monitorsystemen
 /RG40/ Form: 10/05Ser: 1/1, Seite: 10
 Scherzhang 10